

Mawsons Tochtergesellschaft SXG bohrt 404 m mit 5,1 g/t Gold (ungeschnitten) und durchquert 13 hochgradige Adern

7 Abschnitte >100 g/t Gold, bis zu 2.670 g/t Gold

Ergebnisse der 100 m Step-Out-Bohrung, die mehrere Zonen mit sichtbarem Gold durchschneidet, stehen noch aus

Vancouver, Kanada - Mawson Gold Limited ("Mawson" oder das "Unternehmen") (TSX:MAW) (Frankfurt:MXR) (PINKSHEETS: MWSNF) - <https://www.commodity-tv.com/ondemand/companies/profil/mawson-gold-ltd/> - meldet die Ergebnisse von sechs Bohrlöchern (**SDDSC068, 73-74, 76, 77B, 78**) auf dem Projekt Sunday Creek in Victoria, Australien (Abbildung 1).

SDDSC077B bohrte **404,4 m @ 5,6 g/t AuEq (5,1 g/t Au, 0,3 % Sb) auf 374,0 m** (ungeschnitten) und durchquert 13 einzelne hochgradige Adersätze (Abbildungen 3-6). **Sieben Abschnitte weisen >100 g/t Au (bis zu 2.670 g/t Au), 20 Abschnitte mit >15 g/t Au und 20 Abschnitte mit >5 % Sb (bis zu 55,8 % Sb) auf.** Es handelt sich um das beste Bohrloch, das bisher auf dem Projekt gebohrt wurde, einen spektakulär breiten und hochgradigen Abschnitt mit einer Gold-Antimon-Mineralisierung.

SDDSC078 demonstrierte die neigungsaufwärts gerichtete Erweiterung und Fortsetzung von fünf hochgradigen Zonen in Richtung Oberfläche und **SDDSC068** demonstrierte die Größe des Sunday Creek Systems mit einer neigungsabwärts gerichteten Erweiterung von 500 m unterhalb früherer Bohrungen aus dem Apollo Gebiet.

Sunday Creek befindet sich zu 100 % im Besitz von Southern Cross Gold (SXG"), einem an der ASX notierten Unternehmen, das zu 51 % im Besitz von Mawson ist. Vier Bohrgeräte bohren weiterhin sowohl im Hauptbohrgebiet, wo elf Bohrlöcher (SDDSC079-81, 83-90) derzeit geologisch bearbeitet und chemisch analysiert werden, als auch in vier Bohrlöchern (SDDSC082, 91-93), die sich im Bohrfortschritt befinden (Abbildungen 5-6), sowie bis zu 7.5 km entlang des Streichs auf den Grundstücken Tonal, Consols und Leviathan, wo zwölf Bohrlöcher (SDDTS001-7, SDDCN001 und SDDL001-4) mit einer Länge von 2.383 m (einschließlich zweier neu gebohrter Stützen) abgeschlossen wurden und die Ergebnisse in den kommenden Wochen erwartet werden (Abbildung 2).

Höhepunkte:

- **Beweisender Gehalt:** SDDSC077B übertrifft das bisher beste Bohrloch um fast das Dreifache. Es enthält die bisher höchsten Gehalte bei Sunday Creek (bis zu 2.670 g/t Au) und beinhaltet den besten Abschnitt bei Sunday Creek sowie zwei weitere in den Top 10.
- Bohrloch SDDSC077B durchteufte **404,4 m mit 5,6 g/t AuEq (5,1 g/t Au, 0,3 % Sb) auf 374,0 m** (ungeschnitten). Eine Auswahl an Highlights beinhaltet:
 - **5,6 m @ 17,8 g/t AuEq** (14,1 g/t Au, 2,4 % Sb) **aus 392,2 m**, einschließlich:
 - **0,2 m @ 31,5 g/t AuEq** (31,4 g/t Au, 0,0% Sb) **aus 392,2 m**
 - **0,4 m @ 231,6 g/t AuEq** (182,0 g/t Au, 31,4% Sb) **aus 394,2 m**
 - **5,4 m @ 39,3 g/t AuEq** (38,0 g/t Au, 0,8 % Sb) **aus 407,7 m**, einschließlich:

- **0,4 m @ 593,6 g/t AuEq** (574,0 g/t Au, 12,4% Sb) **aus 407,7 m**

Fortsetzung auf dieser Seite

- **4,9 m @ 36,1 g/t AuEq** (20,1 g/t Au, 10,1 % Sb) **aus 445,2 m**, einschließlich:
 - **1,4 m @ 113,9 g/t AuEq** (66,6 g/t Au, 29,9% Sb) **aus 445,2 m**
 - **0,3 m @ 54,0 g/t AuEq** (12,1 g/t Au, 26,5% Sb) **aus 449,7 m**
- **6,9 m @ 205,2 g/t AuEq** (204,5 g/t Au, 0,4 % Sb) **aus 733,8 m**, einschließlich:
- **0,8 m @ 1.741,5 g/t AuEq** (1.736,4 g/t Au, 3,3 % Sb) **aus 739,9 m**:
 - **Einschließlich 0,4 m @ 731,2 g/t AuEq** (731,0 g/t Au, 0,1% Sb) **aus 739,9 m**
 - **einschließlich 0,4 m mit 2.679,8 g/t AuEq** (2.670 g/t Au, 6,2 % Sb) **aus 740,3 m**
- Bohrloch SDDSC077B ist das erste Bohrloch, das den mineralisierten Fußabdruck von SDDSC050 (305 m @ 2,4 g/t AuEq, gemeldet am 20. November 2022) um 25 m auf 60 m erweitert und die Kontinuität der mineralisierten Strukturen zwischen diesen Bohrlöchern im Prospektionsgebiet Rising Sun nachweist (Abbildung 4).
- Bohrloch SDDSC082 (in Planung auf 1.000 m) zielt auf eine Mineralisierung 100 m unterhalb von SDDSC077B ab und hat mehrere Mineralisierungszonen von 413 m bis zur aktuellen Tiefe von 870 m durchteuft. Sichtbares Gold wurde bis dato in mehreren einzelnen begrenzten Zonen festgestellt.
- SDDSC078 durchteufte fünf mineralisierte Strukturen auf einer Bohrlochlänge von 214 m. Es wurden fünf Einzelproben mit mehr als 20 g/t Gold und bis zu 162 g/t Gold sowie hohe Antimongehalte von bis zu 12,8 % Sb durchteuft. Sichtbares Gold wurde in sechs einzelnen begrenzten Zonen festgestellt.
- Das Gebiet Rising Sun bleibt neigungsaufwärts, neigungsabwärts und entlang des Streichens offen.
- **Volumen demonstrieren:** SDDSC068 bestätigte die Kontinuität der bekannten hochgradigen Zonen in großer Tiefe bei Apollo, indem es 500 m neigungsabwärts von Bohrloch SDDSC066 (10,4 m @ 22,4 g/t AuEq) gebohrt wurde, was das Volumen des mineralisierten Vorkommens vergrößerte.
- Das Apollo-Gebiet bleibt neigungsaufwärts, neigungsabwärts unterhalb von 1.000 m Tiefe und entlang des Streichens offen.
- Mawson besitzt 93.750.000 Aktien von SXG (51 %), was einem Wert von 46,9 Mio. A\$ (41,2 Mio. C\$) entspricht, basierend auf dem Schlusskurs von SXG am 31. August 2023 AEST.

Noora Ahola, Interim-CEO von Mawson, erklärt: *"Mit der Veröffentlichung von SDDSC077B festigt das zu 100 % SXG gehörende Projekt Sunday Creek seinen Status als eine der besten neuen Goldentdeckungen der Welt. Dreizehn einzelne hochgradige Adersätze mit sieben Abschnitten von mehr als 100 g/t Au und 20 Abschnitten von mehr als 15 g/t Au auf einer Streichlänge von 400 m sprechen Bände über die Qualität des Projekts. Der Fund von Abschnitten wie 0,4 m mit 2.670 g/t Gold war der letzte Faktor, der Sunday Creek in die gleiche Liga wie die anderen hochgradigen epizonalen Goldlagerstätten in Victoria hebt.*

"Zusammen mit den kürzlich gemeldeten Bohrlöchern SDDSC068 und 78 bestätigen diese Bohrlöcher die Strategie von SXG, den Gehalt, das Volumen und die Größe des Projekts durch Bohrungen sowohl oberhalb als auch unterhalb der bereits gemeldeten fantastischen Bohrlöcher wie [SDDSC050](#) und [SDDSC066](#) nachzuweisen.

"SXG meldete vor kurzem eine geplante Bohrkampagne über 26.000 m bis April 2024 und verfügt über alle finanziellen Mittel und Genehmigungen, um seine Strategie auf seinem 11 km langen mineralisierten Trend bei Sunday Creek umzusetzen. Das Unternehmen verfügt über insgesamt 24 Bohrlöcher, die sowohl im Hauptbohrgebiet als auch in den regionalen Zielgebieten bis zu 7.500 m nordöstlich noch nicht freigegeben wurden. Wir erwarten einen stetigen Strom an positiven Ergebnissen aus Australien."

Ergebnisse Diskussion

Bohrloch SDDSC077B 404,4 m @ 5,6 g/t AuEq (5,1 g/t Au, 0,3 % Sb) aus 374,0 m (ungeschnitten) wurde konzipiert, um die Kontinuität der mineralisierten Strukturen zwischen 25 m und 65 m Abstand um Bohrloch SDDSC050 (305 m @ 2,4 g/t AuEq, gemeldet am 20. November 2022) bei Rising Sun nachzuweisen. SDDSC077B (kumulative 2.272 AuEq g/t x m) übertraf SDDSC050 (kumulative 852 AuEq g/t x m), das vorherige beste Loch, um fast das Dreifache.

Das Bohrloch SDDSC077B durchteufte 13 Mineralisierungszonen in einer Tiefe von 375 m bis 787 m, wobei in 28 einzelnen begrenzten Zonen sichtbares Gold festgestellt wurde. SDDSC050 durchquerte dieselben 13 Aderstrukturen, die in SDDSC077B durchteuft wurden, wobei die beiden Bohrlöcher zwischen 25 und 60 m voneinander entfernt sind.

SDDSC077B wurde parallel zum Brekzien-Gang gebohrt, jedoch in einem großen Winkel zum vorherrschenden hochgradigen NW-Mineralisierungstrend; daher wird die tatsächliche Mächtigkeit des mineralisierten Abschnitts auf etwa 60-70 % der beprobten Mächtigkeit geschätzt. Insgesamt wies das Bohrloch einen Schnittpunkt von 2.272 g/t AuEq x m auf. Sieben Abschnitte wiesen >100 g/t Au auf (bis zu 2.679,8 g/t Au), 20 Abschnitte mit >15 g/t Au und 20 Abschnitte mit >5% Sb (bis zu 55,8% Sb) wurden durchteuft. Im ungeschnittenen Zustand ergab das Bohrloch 404,4 m mit 5,6 g/t AuEq (5,1 g/t Au, 0,3 % Sb) auf 374,0 m.

Abbildung 4 zeigt die Draufsicht auf die Bohrlöcher SDDSC050 und SDDSC070. Die räumliche Trennung der Bohrungen ist entlang ihrer Spuren dargestellt. Die Abbildung verdeutlicht die Kontinuität der mineralisierten Strukturen, insbesondere in der Deichwand, und zeigt die Möglichkeit, die hohen Gehalte in der Deichwand zu erweitern.

Zu den Highlights von SDDSC077B gehören:

- **5,6 m @ 17,8 g/t AuEq** (14,1 g/t Au, 2,4 % Sb) **aus 392,2 m**, einschließlich:
 - **0,2 m @ 31,5 g/t AuEq** (31,4 g/t Au, 0,0% Sb) **aus 392,2 m**
 - **0,4 m @ 231,6 g/t AuEq** (182,0 g/t Au, 31,4% Sb) **aus 394,2 m**
- **5,4 m @ 39,3 g/t AuEq** (38,0 g/t Au, 0,8 % Sb) **aus 407,7 m**, einschließlich:
 - **0,4 m @ 593,6 g/t AuEq** (574,0 g/t Au, 12,4% Sb) **aus 407,7 m**
- **24,0 m @ 3,6 g/t AuEq** (3,2 g/t Au, 0,2 % Sb) **aus 417,0 m**, einschließlich:
 - **1,5 m @ 43,1 g/t AuEq** (39,7 g/t Au, 2,1% Sb) **aus 422,1 m**
 - **0,4 m @ 24,0 g/t AuEq** (17,3 g/t Au, 4,2 % Sb) **aus 428,2 m**
- **4,9 m @ 36,1 g/t AuEq** (20,1 g/t Au, 10,1 % Sb) **aus 445,2 m**, einschließlich:
 - **1,4 m @ 113,9 g/t AuEq** (66,6 g/t Au, 29,9% Sb) **aus 445,2 m**
 - **0,3 m @ 54,0 g/t AuEq** (12,1 g/t Au, 26,5% Sb) **aus 449,7 m**
- **33,8 m @ 3,0 g/t AuEq** (2,4 g/t Au, 0,4 % Sb) **aus 478,0 m**, einschließlich:
 - **1,2 m @ 11,9 g/t AuEq** (10,8 g/t Au, 0,7% Sb) **aus 486,6 m**
 - **0,5 m @ 21,0 g/t AuEq** (20,9 g/t Au, 0,0% Sb) **aus 491,9 m**
 - **1,0 m @ 19,6 g/t AuEq** (10,1 g/t Au, 6,0 % Sb) **aus 498,5 m**
 - **0,2 m @ 183,2 g/t AuEq** (168,0 g/t Au, 9,6 % Sb) **aus 500,9 m**
 - **0,3 m @ 6,1 g/t AuEq** (5,5 g/t Au, 0,4% Sb) **aus 506,6 m**
- **6,5 m @ 10,2 g/t AuEq** (2,8 g/t Au, 4,7 % Sb) **aus 573,0 m**, einschließlich:
 - **2,6 m @ 24,1 g/t AuEq** (6,3 g/t Au, 11,3 % Sb) **aus 574,0 m**
- **6,9 m @ 205,2 g/t AuEq** (204,5 g/t Au, 0,4 % Sb) **aus 733,8 m**, einschließlich:
 - **1,1 m @ 9,8 g/t AuEq** (9,5 g/t Au, 0,2 % Sb) **aus 737,1 m**
 - **0,8 m @ 1.741,5 g/t AuEq** (1.736,4 g/t Au, 3,3 % Sb) **aus 739,9 m**
 - **Einschließlich 0,4 m @ 731,2 g/t AuEq** (731,0 g/t Au, 0,1% Sb) **aus 739,9 m**
 - **einschließlich 0,4 m mit 2.679,8 g/t AuEq** (2.670 g/t Au, 6,2 % Sb) **aus 740,3 m**

SDDSC078 wurde 250 m neigungsaufwärts von SDDSC050 (305,8 m @ 2,4 g/t AuEq) gebohrt und zielte erfolgreich auf den hochgradigen Kern der Mineralisierung bei Rising Sun. Sichtbares Gold wurde in sechs einzelnen begrenzten Zonen innerhalb von SDDSC078 festgestellt. Dank des besseren Verständnisses des

Teams für den Zielgrad, einschließlich der Definition der Golden Orb Fault (Abbildung 3), konnte SDDSC078 erfolgreich angepeilt werden, um eine Mineralisierung zu durchschneiden.

SDDSC068 wurde 500 m neigungsabwärts von SDDSC066 gebohrt (10,5 m @ 5,8 g/t AuEq, 7,8 m @ 5,4 g/t AuEq und 10,4 m @ 22,4 g/t AuEq) und zielte erfolgreich auf hochgradige Vorkommen ab, einschließlich 0,5 m @ 23,8 g/t Au aus 1.010,4 m innerhalb einer breiteren Mineralisierungszone, einschließlich 13,3 m @ 1,6 g/t Au aus 1.009,8 m bei Apollo. Es wurde sichtbares Gold festgestellt.

Weitere Informationen zu den Löchern SDDSC068, 73-74, 76, 78 finden Sie auf der Website von SXG unter www.southerncrossgold.com.au.

Ausstehende Ergebnisse und Aktualisierung

Mit vier Diamantbohrgeräten, die vor Ort im Einsatz sind, plant SXG, bis April 2024 weitere 26.000 m zu bohren, wobei im Jahr 2023 bisher 19.626 m gebohrt wurden.

Volumen demonstrieren: Elf Bohrlöcher (SDDSC079-81, 83-90) werden derzeit geologisch bearbeitet und chemisch analysiert, vier Bohrlöcher (SDDSC082, 91-93) befinden sich im Bohrprozess (Abbildung 5).

Demonstration der Größenordnung: Zwölf Bohrlöcher (SDDTS001-7, SDDCN001 und SDDL001-4) mit einer Länge von 2.383 m (einschließlich zweier neu gebohrter Kollars) wurden nun im regionalen Gebiet Leviathan - Consols - Tonstal zwischen 3.500 m und 7.500 m entlang des Streichs vom Hauptbohrgebiet abgeschlossen. Die Ergebnisse werden in den kommenden Wochen erwartet (Abbildung 2).

Nachweis des Gehalts: Vorläufige visuelle geologische Protokolle von SDDSC082, das 100 m unterhalb von Bohrloch SDDSC077B bei Rising Sun gebohrt wurde, durchschnitten **mehrere Mineralisierungszonen, wobei in bestimmten begrenzten Zonen sichtbares Gold festgestellt wurde.** Die Analysen sind noch ausständig (Abbildungen 5-6).

Weitere Informationen und Analysen zum Projekt Sunday Creek von Southern Cross Gold finden Sie auf der Website von SXG unter www.southerncrossgold.com.au.

Die Abbildungen 1 bis 6 zeigen die Lage des Projekts sowie Grundriss-, Längs- und Querschnittsansichten der hier berichteten Bohrerergebnisse, und die Tabellen 1 bis 3 enthalten die Daten der Kragen und der Proben. Die tatsächliche Mächtigkeit der gemeldeten mineralisierten Abschnitte wird auf etwa 60-70 % der beprobten Mächtigkeit geschätzt. Niedrigere Gehalte wurden mit einem unteren Cutoff-Gehalt von 0,3 g/t Au über eine maximale Breite von 3 m und höhere Gehalte mit einem Cutoff-Gehalt von 5,0 g/t Au über eine maximale Breite von 1 m geschnitten, sofern nicht anders angegeben.

Technischer Hintergrund und qualifizierte Person

Die qualifizierte Person, Michael Hudson, Executive Chairman und Director von Mawson Gold sowie Fellow des Australasian Institute of Mining and Metallurgy, hat den technischen Inhalt dieser Pressemitteilung geprüft, verifiziert und genehmigt.

Die Analyseproben werden zur Einrichtung von On Site Laboratory Services ("On Site") in Bendigo transportiert, die sowohl nach ISO 9001 als auch nach dem NATA-Qualitätssystem arbeitet. Die Proben wurden aufbereitet und mit Hilfe der Brandprobe (PE01S-Methode; 25-Gramm-Charge) auf Gold analysiert, gefolgt von der Messung des Goldes in Lösung mit einem Flammen-AAS-Gerät. Die Proben für die Multi-Element-Analyse (BM011 und Over-Range-Methoden nach Bedarf) werden mit Königswasser aufgeschlossen und mit ICP-MS analysiert. Das QA/QC-Programm von Southern Cross Gold besteht aus dem systematischen Einsetzen von zertifizierten Standards mit bekanntem Goldgehalt, Leerproben innerhalb des interpretierten mineralisierten Gesteins und Viertelkernduplikaten. Darüber hinaus werden vor Ort Leerproben und Standards in den Analyseprozess eingefügt.

MAW ist der Ansicht, dass sowohl Gold als auch Antimon, die in der Goldäquivalentberechnung ("AuEq") enthalten sind, angesichts des aktuellen geochemischen Verständnisses, der historischen Produktionsstatistiken und der geologisch vergleichbaren Bergbaubetriebe ein angemessenes Potenzial für die Gewinnung von Sunday Creek haben. In der Vergangenheit wurde das Erz von Sunday Creek während des Ersten Weltkriegs vor Ort aufbereitet oder zur Costerfield-Mine, die 54 km nordwestlich des Projekts

liegt, zur Aufbereitung transportiert. Der Costerfield-Minenkorridor, der sich nun im Besitz von Mandalay Resources Ltd. befindetet, enthält zwei Millionen Unzen Goldäquivalent (Mandalay Q3 2021 Results) und war im Jahr 2020 die sechsthöchste Untertagemine der Welt und ein Top-5-Produzent von Antimon weltweit.

SXG ist der Ansicht, dass es angemessen ist, dieselben Goldäquivalenzvariablen wie Mandalay Resources Ltd. in seinem technischen Bericht Mandalay 2022 vom 25. März 2022 zu verwenden. Die von Mandalay Resources verwendete Goldäquivalenzformel wurde anhand der in der Costerfield Property Brunswick Processing Plant im Jahr 2020 erzielten Ausbeuten berechnet, wobei ein Goldpreis von 1.700 US\$ pro Unze, ein Antimonpreis von 8.500 US\$ pro Tonne und Metallausbeuten für das gesamte Jahr 2021 von 93 % für Gold und 95 % für Antimon zugrunde gelegt wurden, und lautet wie folgt: $AuEq = Au (g/t) + 1,58 \times Sb (\%)$.

Basierend auf der jüngsten Costerfield-Berechnung und angesichts der ähnlichen geologischen Stile und der historischen Behandlung der Sunday Creek-Mineralisierung bei Costerfield ist SXG der Ansicht, dass ein $AuEq = Au (g/t) + 1,58 \times Sb (\%)$ für die anfänglichen Explorationsziele der Gold-Antimon-Mineralisierung bei Sunday Creek angemessen ist.

Zu den bereits gemeldeten Explorationsergebnissen, auf die in dieser Pressemitteilung Bezug genommen wird, lesen Sie bitte das Folgende:

[14. Dezember 2022](#) SDDSC050 [1. Juni 2023](#) SDDSC066

Über Mawson Gold Limited (TSX:MAW, FRANKFURT:MXR, OTC:PINK:MWSNF)

[Mawson Gold Limited](#) ist ein Explorations- und Erschließungsunternehmen. Mawson hat sich als führendes nordisches Explorationsunternehmen mit seinem zu 100 % im Besitz befindlichen Rajapalot-Gold-Kobalt-Flaggschiffprojekt in Finnland und dem Recht auf Beteiligung am Skellefteå North-Goldprojekt in Schweden hervorgetan. Mawson besitzt derzeit auch 51% der Southern Cross Gold Ltd (ASX: SXG), die ihrerseits drei hochgradige, historische, epizonale Goldfelder mit einer Fläche von 470 km² in Victoria, Australien, besitzt oder kontrolliert.

Über Southern Cross Gold Ltd (ASX: SXG)

[Southern Cross Gold](#) besitzt das zu 100 % im Besitz befindliche Sunday Creek Projekt in Victoria und das Mt Isa Projekt in Queensland, die Redcastle und Whroo Joint Ventures in Victoria, Australien, sowie eine strategische 10 %ige Beteiligung an der an der ASX notierten Nagambie Resources Limited (ASX: NAG), die SXG ein Vorkaufsrecht auf ein 3.300 Quadratkilometer großes Grundstückspaket im Besitz von NAG in Victoria gewährt.

Im Namen des Verwaltungsrats,

"Noora Ahola"
Noora Ahola, Interims-CEO

Weitere Informationen

www.mawsongold.com

1305 - 1090 West Georgia St., Vancouver, BC, V6E 3V7
Mariana Bermudez (Kanada), Unternehmenssekretärin
+1 (604) 685 9316 info@mawsongold.com

In Europa:

Swiss Resource Capital AG
Jochen Staiger & Marc Ollinger
info@resource-capital.ch
www.resource-capital.ch

Zukunftsgerichtete Aussage

Diese Pressemitteilung enthält zukunftsgerichtete Aussagen oder zukunftsgerichtete Informationen im Sinne der geltenden Wertpapiergesetze (zusammenfassend als "zukunftsgerichtete Aussagen" bezeichnet). Alle hierin enthaltenen Aussagen, mit Ausnahme von Aussagen über historische Fakten, sind zukunftsgerichtete Aussagen. Obwohl Mawson der Ansicht ist, dass solche Aussagen vernünftig sind, kann das Unternehmen keine Garantie dafür geben, dass sich diese Erwartungen als richtig erweisen werden. Zukunftsgerichtete Aussagen sind in der Regel durch Wörter wie glauben, erwarten, vorhersehen, beabsichtigen, schätzen, postulieren und ähnliche Ausdrücke gekennzeichnet oder beziehen sich auf zukünftige Ereignisse. Mawson weist Investoren darauf hin, dass zukunftsgerichtete Aussagen keine Garantie für zukünftige Ergebnisse oder Leistungen sind und dass die tatsächlichen Ergebnisse aufgrund verschiedener Faktoren erheblich von denen in zukunftsgerichteten Aussagen abweichen können, einschließlich der Erwartungen von Mawson hinsichtlich seiner Beteiligung an Southern Cross Gold, Kapital- und andere Kosten, die erheblich von den Schätzungen abweichen, Veränderungen auf den Weltmetallmärkten, Veränderungen auf den Aktienmärkten, die potenziellen Auswirkungen von Epidemien, Pandemien oder anderen Krisen des öffentlichen Gesundheitswesens, einschließlich der aktuellen Pandemie, die als COVID-19 bekannt ist, auf das Geschäft des Unternehmens, Risiken in Verbindung mit negativer Publicity in Bezug auf das Unternehmen oder die Bergbauindustrie im Allgemeinen; Das Explorationspotenzial ist konzeptioneller Natur, die Exploration reicht nicht aus, um eine Mineralressource auf den australischen Projekten im Besitz von SXG zu definieren, und es ist ungewiss, ob weitere Explorationen zur Bestimmung einer Mineralressource führen werden; geplante Bohrprogramme und Ergebnisse, die von den Erwartungen abweichen, Verzögerungen beim Erhalt von Ergebnissen, Ausrüstungsausfälle, unerwartete geologische Bedingungen, die Beziehungen zu den lokalen Gemeinden, der Umgang mit Nichtregierungsorganisationen, Verzögerungen bei der Erteilung von Genehmigungen, Umwelt- und Sicherheitsrisiken sowie andere Risiken und Ungewissheiten, die unter der Überschrift "Risikofaktoren"

in Mawsons jüngstem Jahresbericht auf [SEDAR](#) veröffentlicht wurden. Jede zukunftsgerichtete Aussage bezieht sich nur auf das Datum, an dem sie getätigt wird, und Mawson lehnt jede Absicht oder Verpflichtung ab, zukunftsgerichtete Aussagen zu aktualisieren, sei es aufgrund neuer Informationen, zukünftiger Ereignisse oder Ergebnisse oder aus anderen Gründen.

Foto 1: SDDSC077B aus 739,9 m (0,8 m @ 1.741,5 g/t AuEq (1.736,4 g/t Au, 3,3 % Sb) zeigt Quarz-Karbonat-Stockwerk mit sichtbarem Gold in einem alterierten Gang. Sichtfeld 4 cm.

Ein 3D-LiDAR-gescanntes Bild eines 20 cm langen Kerns aus 739,9 m Höhe kann auch hier eingesehen werden:
<https://magiscan.app/model/64c05072ee71b515fb1b0611.html>.



Abbildung 1: Standort des Projekts Sunday Creek, zusammen mit den anderen Projekten von SXG in Victoria und einer vereinfachten Geologie.

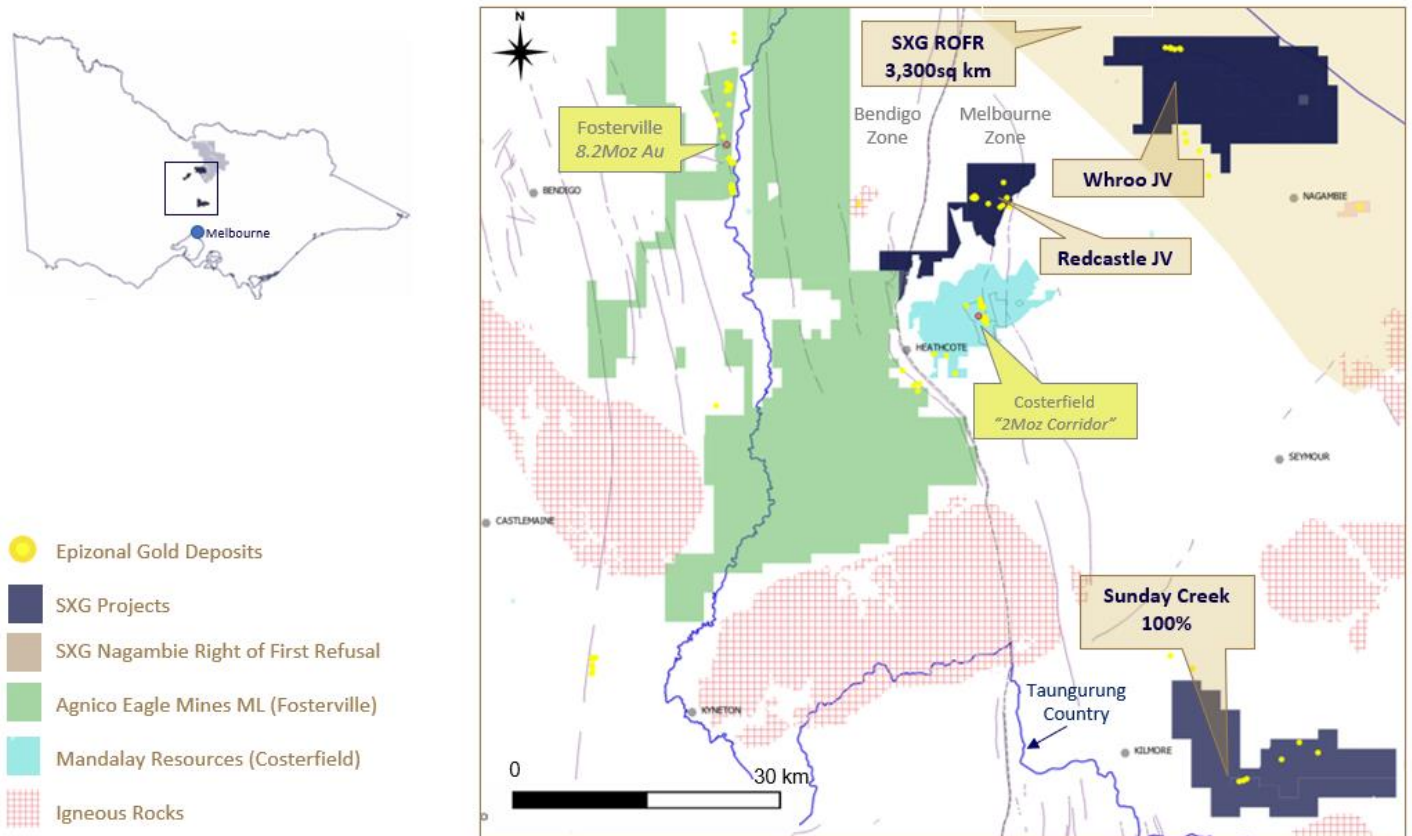


Abbildung 2: Regionale Draufsicht auf Sunday Creek mit LiDAR, Bodenproben, strukturellem Rahmen, regionalen historischen epizonalen Goldabbaugebieten und breiten regionalen Gebieten, die von 12 Bohrlöchern des 2.383 m langen Bohrprogramms erprobt wurden. Die regionalen Bohrgebiete befinden sich bei Tonstal, Consols und Leviathan, die 4.000-7.500 m entlang des Streichens vom Hauptbohrgebiet bei Golden Dyke-Apollo entfernt liegen.

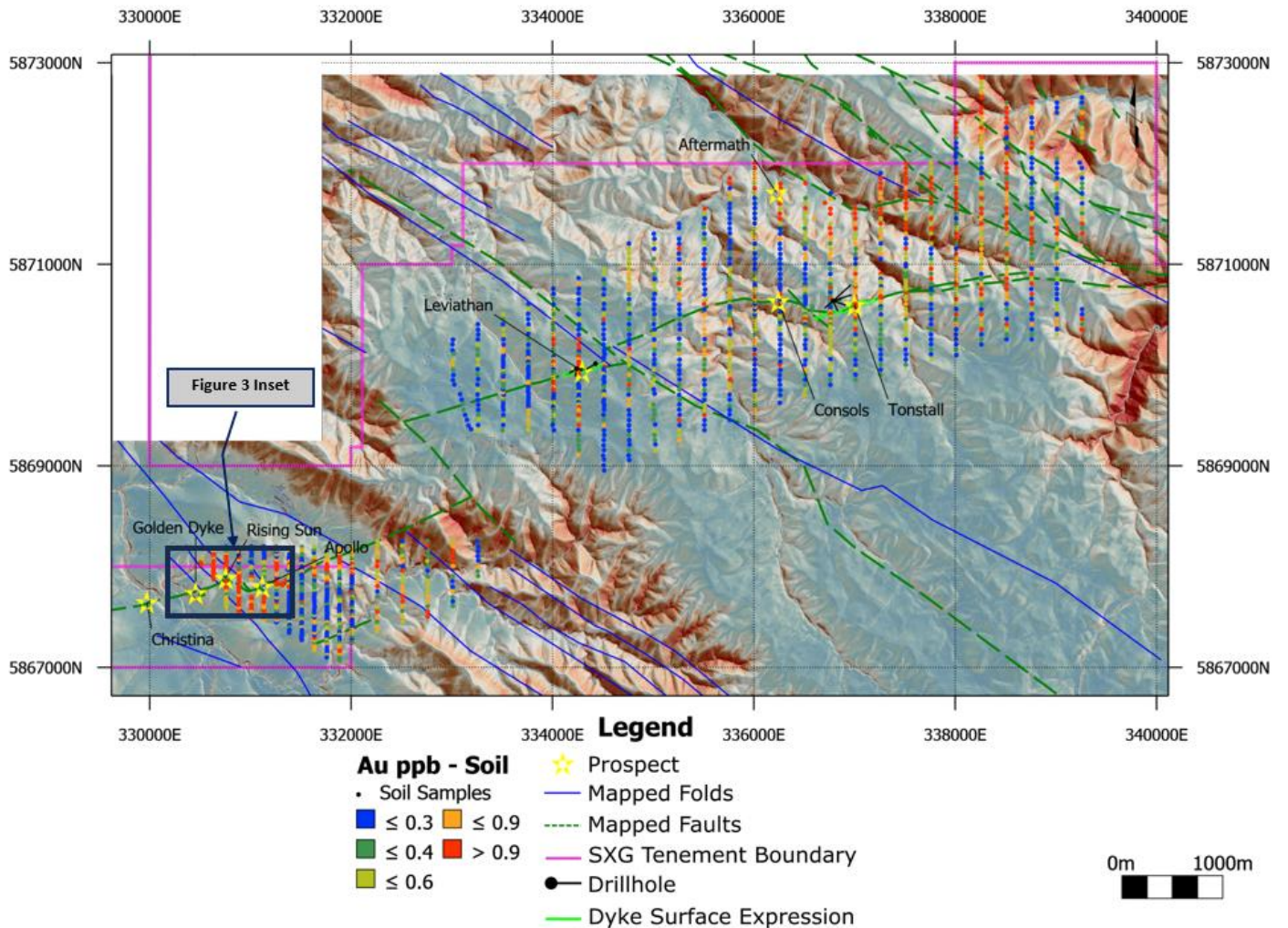


Abbildung 3: Grundrissansicht von Sunday Creek mit SDDSC077B, über das in dieser Pressemitteilung berichtet wird (grauer Kasten), sowie ausgewählten, bereits früher gemeldeten Bohrlöchern und noch nicht abgeschlossenen Bohrungen (gelber Kragen und Spur). Zur Lage siehe Abbildung 2.

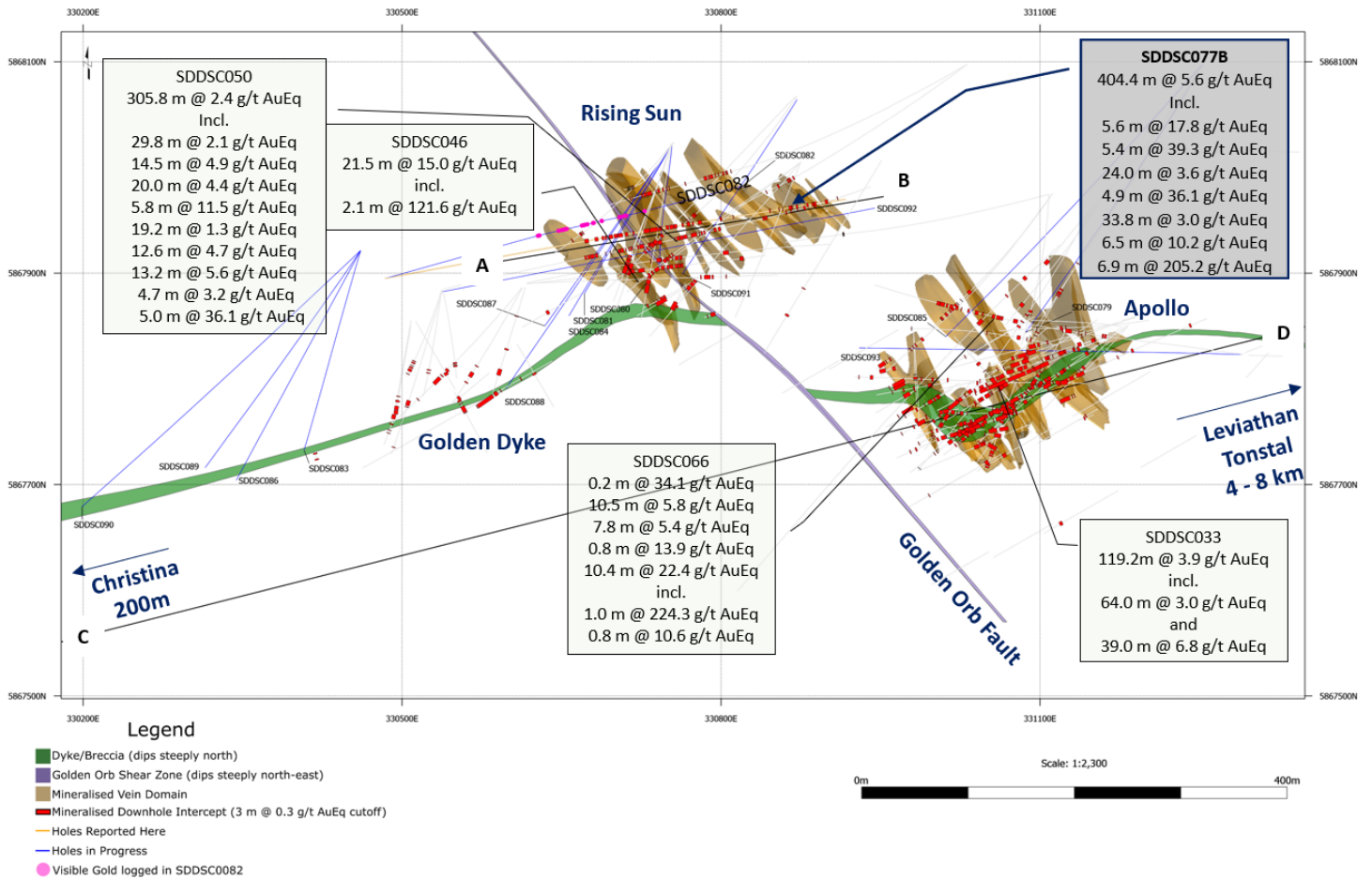


Abbildung 4: Unbeschränkte Draufsicht auf Sunday Creek mit den Untersuchungsergebnissen von SDDSC050 und SDDSC077B; andere Abschnitte sind ebenfalls dargestellt. Die Adern (rot), die Oberfläche der hängenden Wand des Deiches im Verhältnis zu SDDSC077B und SDSSC050 (grün) und die mineralisierte Zone der hängenden Wand (von der hängenden Wand des Deiches bis zur gestrichelten roten Linie). Der Abstand zwischen SDDSC077B und SDSSC050 ist entlang ihrer Spuren dargestellt. Die RL am Anfang und Ende der Bohrungen ist vermerkt. Die Referenzoberfläche liegt bei etwa 300 m RL. Bemerkenswert ist die Kontinuität der mineralisierten Strukturen in der hängenden Wand des Dykes zwischen SDDSC077B und SDSSC050. Die Wirtsstruktur fällt steil nach Norden ab, die Adern fallen steil ab.

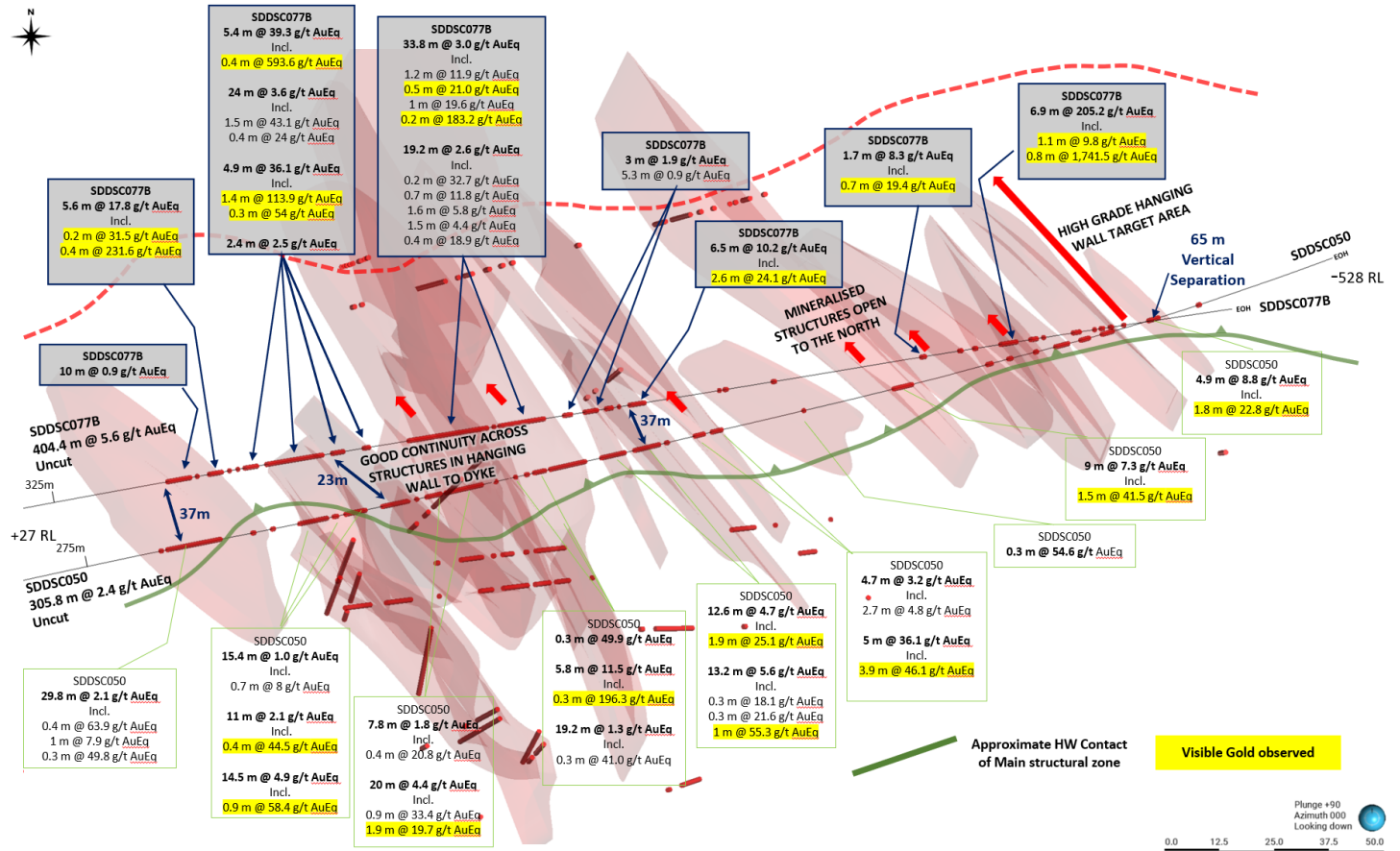


Abbildung 5: Sunday Creek-Längsschnitt durch C-D, die Ebene des Dyke-Brekzien-Grundgebirges, mit Blick in Richtung Norden, mit mineralisierten Adersätzen. SDDSC077B wird hier gemeldet, wobei die begrenzten sichtbaren Goldabschnitte in SDDSC082 und den zuvor gemeldeten Bohrlöchern gezeigt werden.

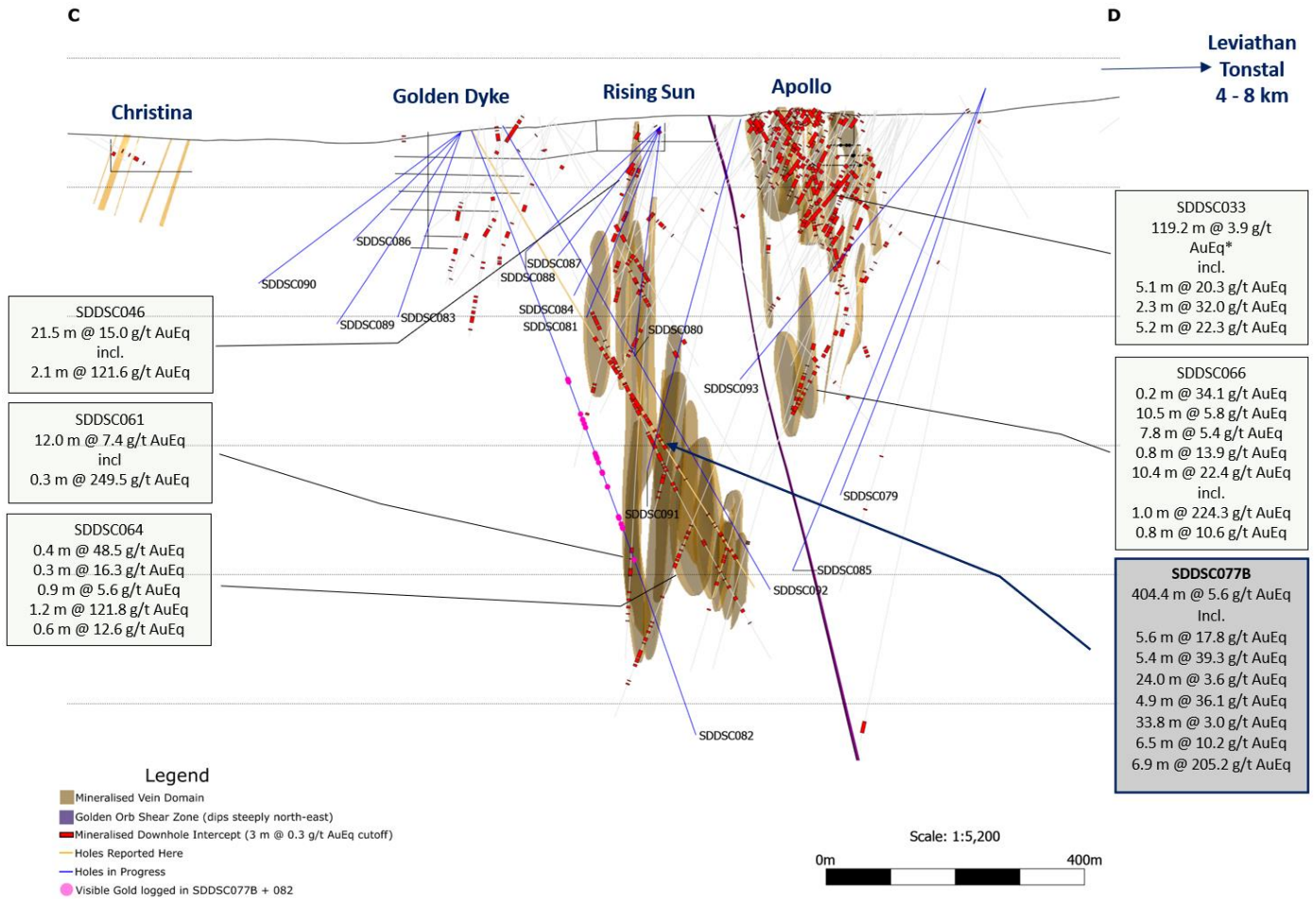


Abbildung 6: Sunday Creek Querschnitt A-B (50 m Einfluss) durch das Gebiet Rising Sun mit Blick in Richtung 330 mit mineralisierten Adersätzen, SDDSC077B und früher gemeldeten Bohrlöchern.

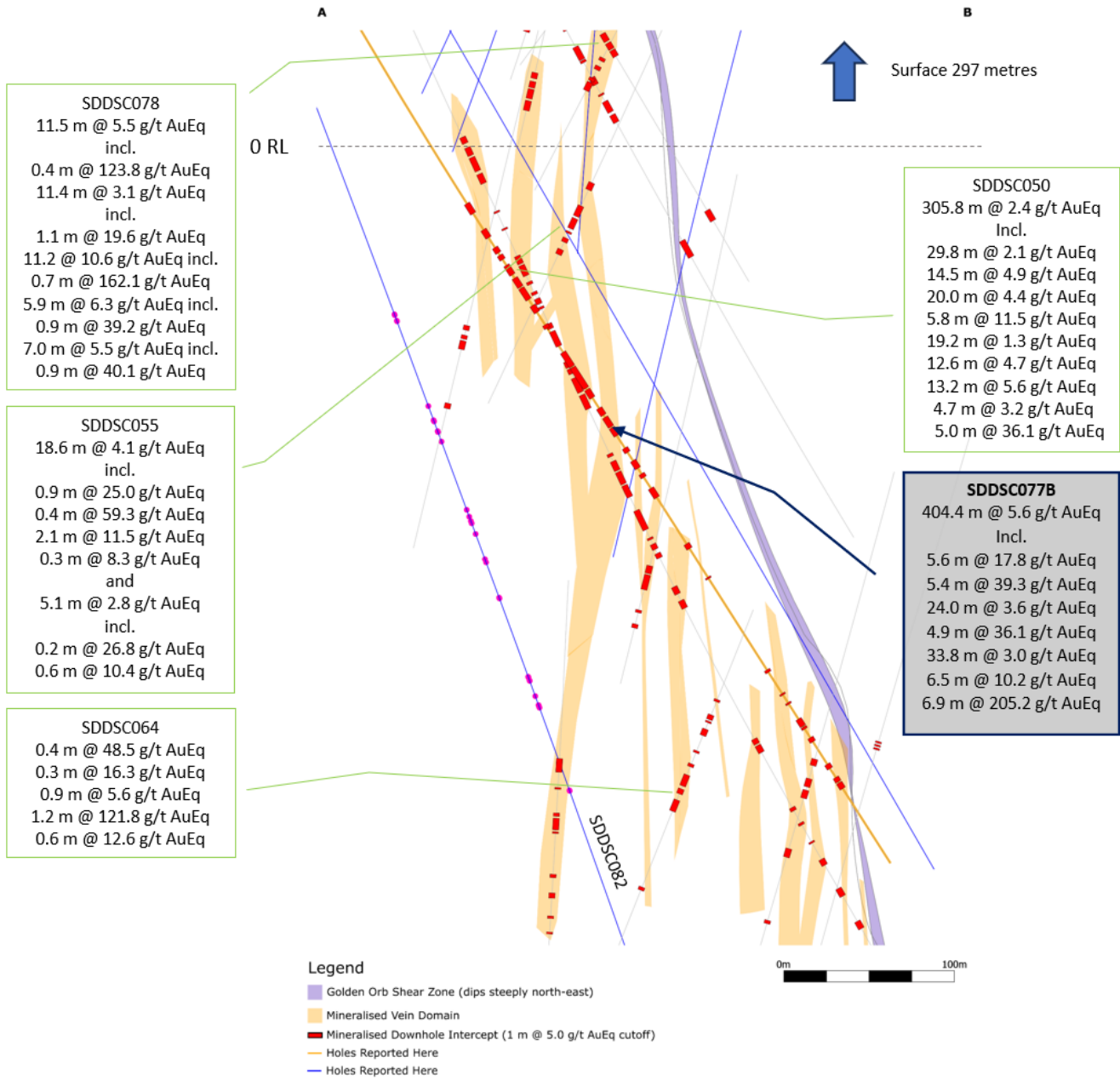


Tabelle 1: Zusammenfassende Tabelle der Bohrkragen der jüngsten Bohrungen, die derzeit durchgeführt werden.

Bohrung_ID	Tiefe (m)	Aussicht	Osten GDA94_Z55	Norden GDA94_Z55	Erhebungen	Azimet	Eintauchen
SDDSC068	1041.2	Apollo	331254	5868098.6	353.9	211.3	-77.7
SDDSC073	818.3	Apollo	331254	5868097	353.9	212.0	-69.0
SDDSC077B	834.2	Aufgehende Sonne	330478	5867882	289.0	73.3	-62.2
SDDSC078	439.5	Aufgehende Sonne	330617	5867890	300.0	83.6	-58.0
SDDSC079	700.7	Aufgehende Sonne	331254	5868098	353.7	210.0	-65.0
SDDSC080	374.6	Aufgehende Sonne	330754	5868022	294.3	185.0	-71.0
SDDSC081	338.5	Aufgehende Sonne	330754	5868022	294.3	210.0	-60.0
SDDSC082	In Arbeit befindlicher Plan 1000 m	Aufgehende Sonne	330484	5867895	289.0	74.0	-68.0
SDDSC083	347.5	Goldener Deich	330461	5867922	285.4	196.0	-54.0
SDDSC084	323.4	Aufgehende Sonne	330754	5868022	294.3	210.0	-53.0
SDDSC085	827.4	Apollo	331254	5868099	353.8	222.0	-64.0
SDDSC086	298.8	Goldener Deich	330461	5867922	285.4	208.0	-33.0
SDDSC087	286.7	Aufgehende Sonne	330754	5868022	294.3	214.0	-43.0
SDDSC088	360.0	Aufgehende Sonne	330754	5868022	294.3	214.0	-33.0
SDDSC089	390.0	Goldener Deich	330461	5867922	285.4	214.0	-48.0
SDDSC090	412.2	Christina	330461	5867922	285.4	226.0	-31.0
SDDSC091	In Arbeit befindlicher Plan 580 m	Sanfte Annie	330871	5868064	305.6	210.0	-69.0
SDDSC092	In Arbeit befindlicher Plan 830 m	Aufgehende Sonne	330537	5867882	295.5	79.0	-60
SDDSC093	In Arbeit befindlicher Plan 550 m	Aufgehende Sonne	331291	5867823	316.8	271	-47.5
SDDTS001	179.8	Tonstal	336788	5870637	525.0	156.0	-50.0
SDDTS002	182.6	Tonstal	336788	5870637	525.0	111.0	-42.0
SDDTS003	197.8	Tonstal	336788	5870637	525.0	111.0	-73.0
SDDTS004	62.6	Tonstal	336788	5870637	525.0	79.0	-60.0
SDDTS004A	170.6	Tonstal	336788	5870637	525.0	79.0	-60.0
SDDTS005A	257.1	Tonstal	336788	5870637	525.0	70.0	-42.0
SDDTS006	368.6	Tonstal	336788	5870637	525.0	48.0	-50.0
SDDTS007	179.6	Tonstal	336788	5870637	525.2	230.0	-50.0
SDDCN001	200.5	Konsolen	336270	5870700	507.0	220.0	-60.0
SDDL001	152.6	Leviathan	334240	5869962	552.2	190.0	-60.0
SDDL002	131.9	Leviathan	334240	5869962	552.2	240.0	-50.0
SDDL003	140.0	Leviathan	334240	5869962	552.2	90.0	-60.0
SDDL004	143.4	Leviathan	334428	5870014	553.0	242.5	-40.0

Tabelle 2: Tabellen der mineralisierten Bohrlochabschnitte, die von SDDSC077B unter Anwendung von zwei Cutoff-Kriterien gemeldet wurden. Niedrigere Gehalte werden mit einem Cutoff-Gehalt von 0,3 g/t über maximal 3 m und höhere Gehalte mit einem Cutoff-Gehalt von 5,0 g/t AuEq über maximal 1 m geschnitten.

Bohrloch	von (m)	bis (m)	Breite (m)	Au g/t	Sb %	AuEq g/t	AuEq g/t * m
SDDSC077B	374.0	778.4	404.4	5.1	0.3	5.6	5.6
SDDSC077B	379.7	380.0	0.3	7.0	2.2	10.5	2.6
SDDSC077B	392.2	397.7	5.6	14.1	2.4	17.8	99.1
einschließlich	392.2	392.4	0.2	31.4	0.0	31.5	6.6
einschließlich	394.2	394.5	0.4	182.0	31.4	231.6	85.7
SDDSC077B	404.6	404.9	0.3	11.3	4.1	17.8	4.4
SDDSC077B	407.7	413.0	5.4	38.0	0.8	39.3	210.2
einschließlich	407.7	408.0	0.4	574.0	12.4	593.6	207.8
SDDSC077B	417.0	441.0	24.0	3.2	0.2	3.6	86.1
einschließlich	422.1	423.6	1.5	39.7	2.1	43.1	65.5
einschließlich	428.2	428.6	0.4	17.3	4.2	24.0	9.1
SDDSC077B	445.2	450.0	4.9	20.1	10.1	36.1	175.3
einschließlich	445.2	446.6	1.4	66.6	29.9	113.9	159.4
einschließlich	449.7	450.0	0.3	12.1	26.5	54.0	14.6
SDDSC077B	459.9	460.2	0.3	14.3	0.0	14.3	4.3
SDDSC077B	478.0	511.8	33.8	2.4	0.4	3.0	102.7
einschließlich	486.6	487.8	1.2	10.8	0.7	11.9	14.5
einschließlich	491.9	492.4	0.5	20.9	0.0	21.0	9.4
einschließlich	498.5	499.5	1.0	10.1	6.0	19.6	19.6
einschließlich	500.9	501.1	0.2	168.0	9.6	183.2	36.6
einschließlich	506.6	506.9	0.3	5.5	0.4	6.1	1.8
SDDSC077B	517.0	536.2	19.2	1.5	0.7	2.6	48.9
einschließlich	519.3	519.7	0.5	5.0	3.3	10.3	4.6
einschließlich	524.3	524.4	0.2	31.2	0.9	32.7	5.6
einschließlich	526.1	526.7	0.7	9.1	1.7	11.8	7.7
einschließlich	528.2	529.8	1.6	2.9	1.8	5.8	9.6
einschließlich	531.6	533.1	1.5	1.3	2.0	4.4	6.7
einschließlich	535.8	536.2	0.4	10.7	5.2	18.9	7.2
SDDSC077B	545.6	546.3	0.6	7.1	0.2	7.4	4.5
SDDSC077B	568.4	568.5	0.1	0.1	17.0	27.0	1.9
SDDSC077B	573.0	579.5	6.5	2.8	4.7	10.2	65.8
einschließlich	574.0	576.6	2.6	6.3	11.3	24.1	63.1
SDDSC077B	699.5	701.2	1.7	7.6	0.4	8.3	14.2
einschließlich	700.1	700.8	0.7	18.2	0.7	19.4	13.4

SDDSC077B	733.8	740.7	6.9	204.5	0.4	205.2	1424.1
einschließlich	737.1	738.3	1.1	9.5	0.2	9.8	11.1
einschließlich	739.9	740.7	0.8	1736.4	3.3	1741.5	1410.7
SDDSC077B	752.4	752.7	0.3	11.7	0.0	11.7	3.5
SDDSC077B	777.3	777.4	0.2	5.3	0.0	5.4	0.9

Tabelle 3: Alle aus SDDSC077B gemeldeten Einzelproben >0,1 g/t AuEq.

Bohrloch	von (m)	bis (m)	Breite (m)	Au g/t	Sb%	AuEq g/t
SDDSC077B	101.00	101.50	0.5	0.0	0.0	0.1
SDDSC077B	105.58	106.07	0.5	0.1	0.0	0.1
SDDSC077B	109.55	110.00	0.5	0.2	0.0	0.2
SDDSC077B	110.00	111.00	1.0	0.1	0.0	0.1
SDDSC077B	310.65	311.30	0.7	0.1	0.0	0.1
SDDSC077B	349.00	349.30	0.3	0.1	0.0	0.1
SDDSC077B	371.04	372.00	1.0	0.1	0.0	0.1
SDDSC077B	373.00	374.00	1.0	0.1	0.0	0.1
SDDSC077B	374.00	374.35	0.4	0.4	0.0	0.4
SDDSC077B	374.75	375.10	0.4	1.1	0.1	1.2
SDDSC077B	375.10	375.90	0.8	0.8	0.0	0.9
SDDSC077B	375.90	376.75	0.9	0.6	0.0	0.7
SDDSC077B	376.75	377.70	1.0	2.2	0.3	2.7
SDDSC077B	377.70	378.80	1.1	0.1	0.0	0.1
SDDSC077B	378.80	379.30	0.5	0.1	0.0	0.2
SDDSC077B	379.30	379.70	0.4	0.2	0.0	0.3
SDDSC077B	379.70	379.95	0.3	7.0	2.2	10.5
SDDSC077B	379.95	380.90	1.0	0.6	0.2	0.9
SDDSC077B	380.90	381.55	0.7	0.2	0.0	0.3
SDDSC077B	381.55	382.30	0.8	0.1	0.0	0.1
SDDSC077B	382.30	383.25	1.0	0.1	0.0	0.1
SDDSC077B	383.25	384.00	0.8	0.7	0.0	0.7
SDDSC077B	384.00	384.30	0.3	0.1	0.0	0.2
SDDSC077B	386.91	387.24	0.3	0.8	0.3	1.3
SDDSC077B	389.20	390.20	1.0	0.1	0.0	0.1
SDDSC077B	390.20	391.19	1.0	0.1	0.0	0.1
SDDSC077B	392.16	392.37	0.2	31.4	0.0	31.5
SDDSC077B	392.70	393.20	0.5	0.4	0.0	0.4
SDDSC077B	393.20	394.17	1.0	1.2	0.6	2.1
SDDSC077B	394.17	394.54	0.4	182.0	31.4	231.6
SDDSC077B	394.54	395.00	0.5	1.1	0.8	2.3
SDDSC077B	395.00	395.54	0.5	1.3	0.4	1.9
SDDSC077B	395.54	396.25	0.7	1.8	0.5	2.6
SDDSC077B	396.25	396.46	0.2	0.4	0.0	0.4

SDDSC077B	396.46	397.50	1.0	0.2	0.1	0.4
SDDSC077B	397.50	397.72	0.2	0.7	0.0	0.7
SDDSC077B	398.50	399.25	0.8	0.1	0.0	0.1
SDDSC077B	400.90	401.24	0.3	0.3	0.1	0.5
SDDSC077B	403.90	404.15	0.3	0.1	0.0	0.1
SDDSC077B	404.15	404.60	0.5	0.3	0.0	0.3
SDDSC077B	404.60	404.85	0.3	11.3	4.1	17.8
SDDSC077B	404.85	405.40	0.6	0.2	0.0	0.2
SDDSC077B	405.40	406.15	0.8	0.2	0.0	0.2
SDDSC077B	406.15	406.92	0.8	0.1	0.0	0.1
SDDSC077B	406.92	407.65	0.7	0.1	0.0	0.2
SDDSC077B	407.65	408.00	0.4	574.0	12.4	593.6
SDDSC077B	408.00	408.33	0.3	0.7	0.0	0.7
SDDSC077B	408.33	409.02	0.7	0.2	0.0	0.2
SDDSC077B	409.02	409.98	1.0	0.3	0.0	0.3
SDDSC077B	409.98	410.40	0.4	0.5	0.1	0.7
SDDSC077B	411.05	411.64	0.6	0.4	0.0	0.4
SDDSC077B	411.64	412.09	0.5	1.6	0.1	1.7
SDDSC077B	412.09	413.00	0.9	0.6	0.0	0.6
SDDSC077B	413.82	414.85	1.0	0.2	0.0	0.2
SDDSC077B	416.00	417.00	1.0	0.1	0.0	0.2
SDDSC077B	417.00	418.00	1.0	1.0	0.1	1.0
SDDSC077B	418.50	418.85	0.4	0.6	0.0	0.7
SDDSC077B	418.85	419.26	0.4	0.7	0.1	0.8
SDDSC077B	419.26	420.15	0.9	0.0	0.0	0.1
SDDSC077B	420.15	421.10	1.0	0.3	0.0	0.4
SDDSC077B	421.10	421.70	0.6	0.4	0.1	0.5
SDDSC077B	421.70	422.08	0.4	0.0	0.0	0.1
SDDSC077B	422.08	422.47	0.4	144.0	7.8	156.3
SDDSC077B	422.47	422.83	0.4	1.1	0.4	1.7
SDDSC077B	422.83	423.60	0.8	5.0	0.1	5.1
SDDSC077B	423.60	424.50	0.9	0.0	0.1	0.1
SDDSC077B	425.96	426.75	0.8	0.3	0.0	0.3
SDDSC077B	426.75	427.10	0.4	1.1	0.0	1.2
SDDSC077B	427.10	427.80	0.7	0.0	0.0	0.1
SDDSC077B	427.80	428.20	0.4	1.8	0.2	2.1
SDDSC077B	428.20	428.58	0.4	17.3	4.2	24.0
SDDSC077B	428.58	429.20	0.6	0.2	0.1	0.3
SDDSC077B	430.10	430.75	0.7	0.9	0.0	1.0
SDDSC077B	431.20	431.85	0.7	0.4	0.1	0.6
SDDSC077B	431.85	432.20	0.4	0.3	0.0	0.4
SDDSC077B	433.00	434.00	1.0	0.4	0.0	0.4
SDDSC077B	434.00	435.00	1.0	3.1	0.1	3.2

SDDSC077B	435.00	436.00	1.0	1.1	0.0	1.2
SDDSC077B	436.00	437.00	1.0	0.4	0.1	0.5
SDDSC077B	439.00	440.00	1.0	0.1	0.0	0.1
SDDSC077B	440.00	441.00	1.0	0.5	0.1	0.7
SDDSC077B	445.15	445.45	0.3	101.0	15.0	124.7
SDDSC077B	445.45	445.84	0.4	35.5	34.8	90.5
SDDSC077B	445.84	446.07	0.2	85.9	27.7	129.7
SDDSC077B	446.07	446.55	0.5	61.2	36.3	118.6
SDDSC077B	446.55	447.00	0.5	0.8	0.2	1.1
SDDSC077B	448.00	449.00	1.0	0.4	0.0	0.4
SDDSC077B	449.00	449.74	0.7	0.4	0.0	0.4
SDDSC077B	449.74	450.01	0.3	12.1	26.5	54.0
SDDSC077B	450.01	450.65	0.6	0.2	0.0	0.2
SDDSC077B	458.70	459.05	0.4	0.4	0.3	0.9
SDDSC077B	459.05	459.55	0.5	0.2	0.1	0.3
SDDSC077B	459.55	459.90	0.4	0.9	0.1	1.0
SDDSC077B	459.90	460.20	0.3	14.3	0.0	14.3
SDDSC077B	460.20	460.50	0.3	0.9	0.0	1.0
SDDSC077B	460.50	461.05	0.6	0.8	0.0	0.8
SDDSC077B	461.05	462.00	1.0	0.1	0.0	0.1
SDDSC077B	462.00	462.80	0.8	0.2	0.0	0.2
SDDSC077B	468.80	469.50	0.7	0.0	0.1	0.1
SDDSC077B	472.25	473.05	0.8	0.0	0.0	0.1
SDDSC077B	477.95	478.29	0.3	0.4	0.1	0.6
SDDSC077B	479.29	479.93	0.6	0.7	0.9	2.1
SDDSC077B	479.93	480.35	0.4	0.1	0.0	0.2
SDDSC077B	480.35	480.55	0.2	1.0	0.9	2.4
SDDSC077B	480.55	481.40	0.9	0.3	0.1	0.5
SDDSC077B	481.40	481.72	0.3	1.5	0.9	2.9
SDDSC077B	481.72	482.41	0.7	0.3	0.1	0.4
SDDSC077B	482.41	483.50	1.1	0.2	0.0	0.2
SDDSC077B	483.50	484.00	0.5	0.5	0.1	0.7
SDDSC077B	484.00	484.40	0.4	3.5	0.0	3.6
SDDSC077B	484.40	485.00	0.6	0.9	0.1	1.0
SDDSC077B	485.00	485.90	0.9	0.4	0.0	0.4
SDDSC077B	485.90	486.20	0.3	1.7	0.5	2.5
SDDSC077B	486.60	486.90	0.3	3.7	1.1	5.5
SDDSC077B	486.90	487.41	0.5	0.9	0.5	1.8
SDDSC077B	487.41	487.82	0.4	28.3	0.6	29.2
SDDSC077B	488.47	488.89	0.4	1.6	0.4	2.3
SDDSC077B	488.89	489.52	0.6	0.2	0.2	0.5
SDDSC077B	489.52	490.34	0.8	0.2	0.1	0.3
SDDSC077B	490.34	491.10	0.8	0.2	0.1	0.3

SDDSC077B	491.10	491.90	0.8	0.9	0.2	1.2
SDDSC077B	491.90	492.35	0.5	20.9	0.0	21.0
SDDSC077B	492.35	492.70	0.4	1.8	0.2	2.1
SDDSC077B	492.70	493.25	0.6	0.4	0.0	0.4
SDDSC077B	493.25	493.90	0.7	0.2	0.1	0.4
SDDSC077B	493.90	494.60	0.7	0.1	0.0	0.1
SDDSC077B	494.60	494.82	0.2	1.1	0.5	1.9
SDDSC077B	494.82	495.87	1.1	0.1	0.0	0.2
SDDSC077B	495.87	496.85	1.0	0.2	0.1	0.2
SDDSC077B	496.85	497.80	1.0	0.8	0.2	1.1
SDDSC077B	497.80	498.50	0.7	0.7	0.1	0.8
SDDSC077B	498.50	498.83	0.3	16.4	11.7	34.9
SDDSC077B	498.83	499.50	0.7	7.0	3.2	12.1
SDDSC077B	499.50	500.50	1.0	0.4	0.3	0.9
SDDSC077B	500.50	500.90	0.4	1.9	0.1	2.1
SDDSC077B	500.90	501.10	0.2	168.0	9.6	183.2
SDDSC077B	501.10	501.50	0.4	1.1	0.4	1.6
SDDSC077B	501.50	501.90	0.4	0.6	0.0	0.7
SDDSC077B	501.90	503.00	1.1	0.3	0.1	0.5
SDDSC077B	503.00	504.00	1.0	0.0	0.0	0.1
SDDSC077B	504.00	505.25	1.3	0.8	0.0	0.9
SDDSC077B	506.15	506.55	0.4	0.5	0.1	0.7
SDDSC077B	506.55	506.85	0.3	5.5	0.4	6.1
SDDSC077B	507.85	508.20	0.4	1.8	0.5	2.6
SDDSC077B	508.20	509.00	0.8	0.0	0.0	0.1
SDDSC077B	509.30	509.70	0.4	1.3	0.2	1.5
SDDSC077B	509.70	510.34	0.6	0.1	0.0	0.2
SDDSC077B	511.10	511.76	0.7	0.2	0.1	0.4
SDDSC077B	514.55	514.85	0.3	0.1	0.1	0.4
SDDSC077B	514.85	515.30	0.5	0.2	0.0	0.2
SDDSC077B	515.30	515.75	0.5	0.2	0.0	0.2
SDDSC077B	517.00	517.80	0.8	0.3	0.1	0.4
SDDSC077B	518.70	519.25	0.6	0.2	0.1	0.3
SDDSC077B	519.25	519.70	0.5	5.0	3.3	10.3
SDDSC077B	519.70	520.05	0.4	1.2	0.7	2.4
SDDSC077B	520.05	520.35	0.3	0.3	0.6	1.3
SDDSC077B	520.35	520.70	0.4	1.3	0.5	2.1
SDDSC077B	521.50	521.80	0.3	0.6	0.4	1.3
SDDSC077B	523.40	523.70	0.3	0.3	0.0	0.3
SDDSC077B	524.25	524.42	0.2	31.2	0.9	32.7
SDDSC077B	524.42	525.20	0.8	0.1	0.1	0.2
SDDSC077B	525.20	525.35	0.2	0.2	0.1	0.3
SDDSC077B	526.05	526.20	0.2	4.8	0.7	5.9

SDDSC077B	526.20	526.70	0.5	10.4	2.0	13.6
SDDSC077B	526.70	526.95	0.3	0.0	0.0	0.1
SDDSC077B	526.95	527.30	0.4	0.2	0.2	0.5
SDDSC077B	527.30	528.15	0.9	0.2	0.1	0.4
SDDSC077B	528.15	528.41	0.3	4.8	1.3	6.9
SDDSC077B	528.41	528.67	0.3	5.9	1.8	8.8
SDDSC077B	528.67	529.16	0.5	0.5	0.3	1.0
SDDSC077B	529.16	529.31	0.2	2.5	1.5	4.8
SDDSC077B	529.31	529.46	0.2	1.0	0.0	1.0
SDDSC077B	529.46	529.80	0.3	3.7	5.4	12.2
SDDSC077B	529.80	529.95	0.2	1.8	1.0	3.4
SDDSC077B	529.95	530.40	0.5	0.1	0.0	0.1
SDDSC077B	530.40	530.70	0.3	0.0	0.0	0.1
SDDSC077B	530.70	531.00	0.3	0.3	0.4	0.9
SDDSC077B	531.00	531.30	0.3	0.5	0.2	0.8
SDDSC077B	531.30	531.60	0.3	0.2	0.1	0.4
SDDSC077B	531.60	531.90	0.3	1.4	2.9	6.0
SDDSC077B	532.50	532.80	0.3	2.1	1.6	4.6
SDDSC077B	532.80	533.10	0.3	3.0	5.4	11.5
SDDSC077B	533.10	533.40	0.3	0.7	0.9	2.0
SDDSC077B	533.40	534.05	0.7	0.3	0.0	0.4
SDDSC077B	534.05	534.60	0.6	0.5	0.5	1.3
SDDSC077B	534.93	535.23	0.3	0.1	0.1	0.3
SDDSC077B	535.53	535.78	0.3	3.8	0.1	3.9
SDDSC077B	535.78	536.16	0.4	10.7	5.2	18.9
SDDSC077B	538.70	539.10	0.4	0.1	0.0	0.1
SDDSC077B	542.35	542.85	0.5	0.1	0.1	0.2
SDDSC077B	543.20	543.75	0.6	0.1	0.0	0.1
SDDSC077B	544.35	544.85	0.5	0.1	0.0	0.1
SDDSC077B	544.85	545.25	0.4	0.9	0.1	1.0
SDDSC077B	545.25	545.64	0.4	0.1	0.0	0.2
SDDSC077B	545.64	546.25	0.6	7.1	0.2	7.4
SDDSC077B	546.25	546.85	0.6	0.2	0.1	0.3
SDDSC077B	546.85	547.30	0.5	0.1	0.0	0.1
SDDSC077B	547.30	547.85	0.6	0.7	0.1	0.8
SDDSC077B	552.85	553.70	0.9	0.1	0.0	0.1
SDDSC077B	553.70	554.25	0.6	1.8	0.5	2.6
SDDSC077B	555.20	555.60	0.4	0.5	0.1	0.7
SDDSC077B	556.15	556.50	0.4	2.4	0.8	3.7
SDDSC077B	556.50	557.40	0.9	0.5	0.2	0.7
SDDSC077B	557.40	557.80	0.4	0.4	0.1	0.6
SDDSC077B	557.80	558.50	0.7	0.1	0.0	0.1
SDDSC077B	558.50	559.00	0.5	1.9	0.0	1.9

SDDSC077B	559.00	559.60	0.6	0.1	0.0	0.1
SDDSC077B	562.20	562.55	0.4	0.1	0.0	0.1
SDDSC077B	562.85	563.10	0.3	0.0	0.9	1.4
SDDSC077B	563.10	563.45	0.4	0.3	0.1	0.5
SDDSC077B	563.45	563.75	0.3	0.1	0.0	0.2
SDDSC077B	564.30	564.90	0.6	0.0	0.0	0.1
SDDSC077B	564.90	565.35	0.5	0.1	0.4	0.7
SDDSC077B	568.43	568.50	0.1	0.1	17.0	27.0
SDDSC077B	568.50	569.00	0.5	0.0	0.1	0.2
SDDSC077B	573.00	573.85	0.9	0.3	0.0	0.3
SDDSC077B	573.85	573.98	0.1	1.9	1.9	4.9
SDDSC077B	573.98	574.35	0.4	11.3	55.8	99.5
SDDSC077B	574.35	574.60	0.3	2.4	22.3	37.6
SDDSC077B	574.60	575.40	0.8	2.1	3.0	6.7
SDDSC077B	575.40	576.22	0.8	0.9	0.8	2.1
SDDSC077B	576.22	576.60	0.4	24.5	0.8	25.7
SDDSC077B	576.60	577.16	0.6	0.6	0.1	0.8
SDDSC077B	577.16	577.50	0.3	0.3	0.1	0.4
SDDSC077B	577.50	578.16	0.7	0.3	0.0	0.4
SDDSC077B	578.16	579.08	0.9	0.4	0.2	0.6
SDDSC077B	579.08	579.25	0.2	0.9	0.4	1.5
SDDSC077B	579.25	579.45	0.2	0.5	0.0	0.6
SDDSC077B	579.45	580.06	0.6	0.1	0.0	0.2
SDDSC077B	582.40	582.90	0.5	0.1	0.0	0.1
SDDSC077B	611.74	612.00	0.3	0.3	0.0	0.3
SDDSC077B	614.12	614.40	0.3	2.3	1.2	4.2
SDDSC077B	614.40	614.90	0.5	0.1	0.0	0.1
SDDSC077B	614.90	615.05	0.2	0.2	0.2	0.5
SDDSC077B	615.05	615.40	0.4	0.1	0.0	0.2
SDDSC077B	631.00	632.00	1.0	0.2	0.0	0.2
SDDSC077B	635.00	636.00	1.0	0.4	0.0	0.4
SDDSC077B	673.91	674.41	0.5	0.0	0.0	0.1
SDDSC077B	699.00	699.50	0.5	0.1	0.0	0.1
SDDSC077B	699.50	699.88	0.4	0.3	0.0	0.3
SDDSC077B	699.88	700.14	0.3	0.2	0.0	0.2
SDDSC077B	700.14	700.83	0.7	18.2	0.7	19.4
SDDSC077B	700.83	701.20	0.4	0.8	0.6	1.8
SDDSC077B	701.20	701.56	0.4	0.1	0.0	0.2
SDDSC077B	716.00	717.00	1.0	0.2	0.2	0.4
SDDSC077B	717.00	718.00	1.0	0.1	0.1	0.1
SDDSC077B	718.00	718.37	0.4	0.1	0.0	0.1
SDDSC077B	718.37	718.86	0.5	0.3	0.0	0.3
SDDSC077B	722.38	723.43	1.1	0.6	0.0	0.6

SDDSC077B	725.00	725.50	0.5	0.1	0.0	0.2
SDDSC077B	725.50	726.00	0.5	0.2	0.0	0.2
SDDSC077B	728.90	729.72	0.8	0.1	0.0	0.1
SDDSC077B	733.00	733.46	0.5	0.2	0.0	0.2
SDDSC077B	733.46	733.80	0.3	0.2	0.0	0.2
SDDSC077B	733.80	734.05	0.3	0.5	0.0	0.5
SDDSC077B	734.05	734.70	0.7	0.0	0.0	0.1
SDDSC077B	735.00	735.45	0.5	0.9	0.0	0.9
SDDSC077B	735.45	736.32	0.9	0.1	0.0	0.1
SDDSC077B	737.12	737.40	0.3	17.4	0.2	17.7
SDDSC077B	737.40	737.70	0.3	1.9	0.5	2.8
SDDSC077B	737.70	737.96	0.3	1.9	0.1	2.0
SDDSC077B	737.96	738.25	0.3	16.4	0.0	16.5
SDDSC077B	738.25	738.75	0.5	1.1	0.1	1.2
SDDSC077B	738.75	739.27	0.5	0.2	0.0	0.2
SDDSC077B	739.27	739.60	0.3	1.3	0.0	1.3
SDDSC077B	739.60	739.93	0.3	1.5	0.0	1.5
SDDSC077B	739.93	740.32	0.4	731.0	0.1	731.2
SDDSC077B	740.32	740.74	0.4	2670.0	6.2	2679.8
SDDSC077B	740.74	741.30	0.6	0.2	0.0	0.2
SDDSC077B	741.30	741.77	0.5	0.1	0.0	0.1
SDDSC077B	741.77	742.58	0.8	0.1	0.0	0.1
SDDSC077B	746.77	747.07	0.3	4.9	0.0	4.9
SDDSC077B	749.10	749.60	0.5	0.6	0.0	0.6
SDDSC077B	750.50	751.40	0.9	0.1	0.0	0.1
SDDSC077B	751.73	752.40	0.7	0.1	0.0	0.1
SDDSC077B	752.40	752.70	0.3	11.7	0.0	11.7
SDDSC077B	755.70	756.70	1.0	0.1	0.0	0.1
SDDSC077B	756.70	757.70	1.0	0.1	0.0	0.1
SDDSC077B	757.70	758.30	0.6	0.1	0.0	0.1
SDDSC077B	763.55	764.66	1.1	0.2	0.0	0.2
SDDSC077B	764.66	765.23	0.6	0.3	0.0	0.3
SDDSC077B	765.23	765.41	0.2	0.4	0.0	0.4
SDDSC077B	765.41	766.00	0.6	0.2	0.0	0.2
SDDSC077B	766.00	767.00	1.0	0.4	0.0	0.4
SDDSC077B	767.00	767.55	0.6	0.2	0.0	0.2
SDDSC077B	767.55	768.25	0.7	0.3	0.0	0.3
SDDSC077B	768.25	769.15	0.9	0.2	0.0	0.2
SDDSC077B	769.15	769.50	0.4	0.2	0.0	0.2
SDDSC077B	769.50	770.00	0.5	0.1	0.0	0.1
SDDSC077B	770.25	770.50	0.3	0.2	0.0	0.2
SDDSC077B	770.50	770.72	0.2	0.1	0.0	0.1
SDDSC077B	771.45	771.80	0.4	0.1	0.0	0.1

SDDSC077B	774.17	774.48	0.3	0.2	0.0	0.2
SDDSC077B	774.48	774.80	0.3	0.4	0.0	0.4
SDDSC077B	774.80	775.57	0.8	0.2	0.0	0.2
SDDSC077B	775.57	776.30	0.7	0.1	0.0	0.1
SDDSC077B	776.30	776.60	0.3	0.0	0.1	0.1
SDDSC077B	776.60	777.25	0.7	0.1	0.0	0.1
SDDSC077B	777.25	777.42	0.2	5.3	0.0	5.4
SDDSC077B	777.42	778.15	0.7	0.2	0.0	0.3
SDDSC077B	778.15	778.35	0.2	3.5	0.0	3.5
SDDSC077B	778.35	779.10	0.8	0.1	0.0	0.1
SDDSC077B	779.10	779.61	0.5	0.3	0.0	0.3
SDDSC077B	779.61	780.20	0.6	0.1	0.0	0.1
SDDSC077B	781.20	782.16	1.0	0.8	0.0	0.8
SDDSC077B	782.16	783.00	0.8	0.1	0.0	0.1
SDDSC077B	783.00	784.00	1.0	0.1	0.0	0.1
SDDSC077B	784.00	785.00	1.0	0.2	0.0	0.2
SDDSC077B	785.00	786.00	1.0	0.1	0.0	0.1
SDDSC077B	786.00	787.06	1.1	0.2	0.0	0.2
SDDSC077B	787.06	787.60	0.5	0.5	0.0	0.5
SDDSC077B	795.00	795.20	0.2	0.1	0.0	0.1